

Starkniederschlagshöhen und -spenden gemäß KOSTRA-DWD-2010R

Auswertungszeitraum von 1951 - 2010, Januar - Dezember

Rasterfeld: 23032

Zeile: 23

Spalte: 32

Seite: 1/2

| Dauerstufe D | Wiederkehrzeit T | | | | | | | | | | | | | | | | | | |
|--------------|------------------|------|------------|------|------------|------|------------|------|------------|------|------------|------|------------|------|------------|-------|------------|-------|------------|
| | 1 a | | 2 a | | 3 a | | 5 a | | 10 a | | 20 a | | 30 a | | 50 a | | 100 a | | |
| min | Std | mm | l / (s ha) | mm | l / (s ha) | mm | l / (s ha) | mm | l / (s ha) | mm | l / (s ha) | mm | l / (s ha) | mm | l / (s ha) | mm | l / (s ha) | mm | l / (s ha) |
| 5 | | 5,0 | 166,7 | 6,6 | 220,0 | 7,5 | 250,0 | 8,7 | 290,0 | 10,3 | 343,3 | 12,0 | 400,0 | 12,9 | 430,0 | 14,1 | 470,0 | 15,7 | 523,3 |
| 10 | | 7,8 | 130,0 | 9,9 | 165,0 | 11,2 | 186,7 | 12,8 | 213,3 | 15,0 | 250,0 | 17,2 | 286,7 | 18,4 | 306,7 | 20,0 | 333,3 | 22,2 | 370,0 |
| 15 | | 9,6 | 106,7 | 12,2 | 135,6 | 13,7 | 152,2 | 15,6 | 173,3 | 18,2 | 202,2 | 20,7 | 230,0 | 22,2 | 246,7 | 24,1 | 267,8 | 26,7 | 296,7 |
| 20 | | 10,9 | 90,8 | 13,8 | 115,0 | 15,5 | 129,2 | 17,6 | 146,7 | 20,5 | 170,8 | 23,4 | 195,0 | 25,1 | 209,2 | 27,3 | 227,5 | 30,2 | 251,7 |
| 30 | | 12,5 | 69,4 | 16,0 | 88,9 | 18,0 | 100,0 | 20,5 | 113,9 | 24,0 | 133,3 | 27,4 | 152,2 | 29,4 | 163,3 | 32,0 | 177,8 | 35,4 | 196,7 |
| 45 | | 14,0 | 51,9 | 18,0 | 66,7 | 20,4 | 75,6 | 23,4 | 86,7 | 27,5 | 101,9 | 31,6 | 117,0 | 34,0 | 125,9 | 37,0 | 137,0 | 41,1 | 152,2 |
| 60 | | 14,8 | 41,1 | 19,4 | 53,9 | 22,1 | 61,4 | 25,5 | 70,8 | 30,1 | 83,6 | 34,7 | 96,4 | 37,4 | 103,9 | 40,8 | 113,3 | 45,4 | 126,1 |
| 90 | | 16,3 | 30,2 | 21,1 | 39,1 | 24,0 | 44,4 | 27,5 | 50,9 | 32,4 | 60,0 | 37,3 | 69,1 | 40,1 | 74,3 | 43,7 | 80,9 | 48,5 | 89,8 |
| 120 | 2 | 17,4 | 24,2 | 22,4 | 31,1 | 25,4 | 35,3 | 29,1 | 40,4 | 34,2 | 47,5 | 39,2 | 54,4 | 42,2 | 58,6 | 45,9 | 63,8 | 50,9 | 70,7 |
| 180 | 3 | 19,1 | 17,7 | 24,4 | 22,6 | 27,6 | 25,6 | 31,5 | 29,2 | 36,8 | 34,1 | 42,1 | 39,0 | 45,2 | 41,9 | 49,1 | 45,5 | 54,5 | 50,5 |
| 240 | 4 | 20,5 | 14,2 | 26,0 | 18,1 | 29,2 | 20,3 | 33,3 | 23,1 | 38,8 | 26,9 | 44,3 | 30,8 | 47,6 | 33,1 | 51,6 | 35,8 | 57,2 | 39,7 |
| 360 | 6 | 22,5 | 10,4 | 28,3 | 13,1 | 31,7 | 14,7 | 36,0 | 16,7 | 41,8 | 19,4 | 47,7 | 22,1 | 51,1 | 23,7 | 55,4 | 25,6 | 61,2 | 28,3 |
| 540 | 9 | 24,7 | 7,6 | 30,9 | 9,5 | 34,5 | 10,6 | 39,0 | 12,0 | 45,1 | 13,9 | 51,3 | 15,8 | 54,9 | 16,9 | 59,4 | 18,3 | 65,5 | 20,2 |
| 720 | 12 | 26,4 | 6,1 | 32,8 | 7,6 | 36,6 | 8,5 | 41,3 | 9,6 | 47,6 | 11,0 | 54,0 | 12,5 | 57,7 | 13,4 | 62,4 | 14,4 | 68,8 | 15,9 |
| 1080 | 18 | 29,1 | 4,5 | 35,8 | 5,5 | 39,7 | 6,1 | 44,7 | 6,9 | 51,4 | 7,9 | 58,1 | 9,0 | 62,1 | 9,6 | 67,0 | 10,3 | 73,8 | 11,4 |
| 1440 | 24 | 31,1 | 3,6 | 38,1 | 4,4 | 42,2 | 4,9 | 47,3 | 5,5 | 54,3 | 6,3 | 61,3 | 7,1 | 65,4 | 7,6 | 70,5 | 8,2 | 77,5 | 9,0 |
| 2880 | 48 | 39,1 | 2,3 | 47,9 | 2,8 | 53,1 | 3,1 | 59,6 | 3,4 | 68,4 | 4,0 | 77,2 | 4,5 | 82,4 | 4,8 | 88,9 | 5,1 | 97,7 | 5,7 |
| 4320 | 72 | 44,7 | 1,7 | 54,6 | 2,1 | 60,4 | 2,3 | 67,7 | 2,6 | 77,6 | 3,0 | 87,4 | 3,4 | 93,2 | 3,6 | 100,5 | 3,9 | 110,4 | 4,3 |

Angaben in mm: Bemessungsniederschlagswerte h(n)

Angaben in l / (s ha): Regenspende R(n) mit $R(n) = h(n) \times 1,666667 / D[\text{min}]$

Toleranzbereiche:

+/- 10 % für $1 a \leq T \leq 5 a$

+/- 15 % für $5 a < T \leq 50 a$

+/- 20 % für $50 a < T \leq 100 a$

Datenbasis: KOSTRA-DWD-2010R des Deutschen Wetterdienstes. Die Regenspende wurde auf Basis des Bemessungsniederschlags zur jeweiligen Andauer berechnet.

Für die Richtigkeit und Aktualität der Angaben wird keine Gewähr übernommen. Erstellt 07/2022.

Starkniederschlagshöhen und -spenden gemäß KOSTRA-DWD-2010R

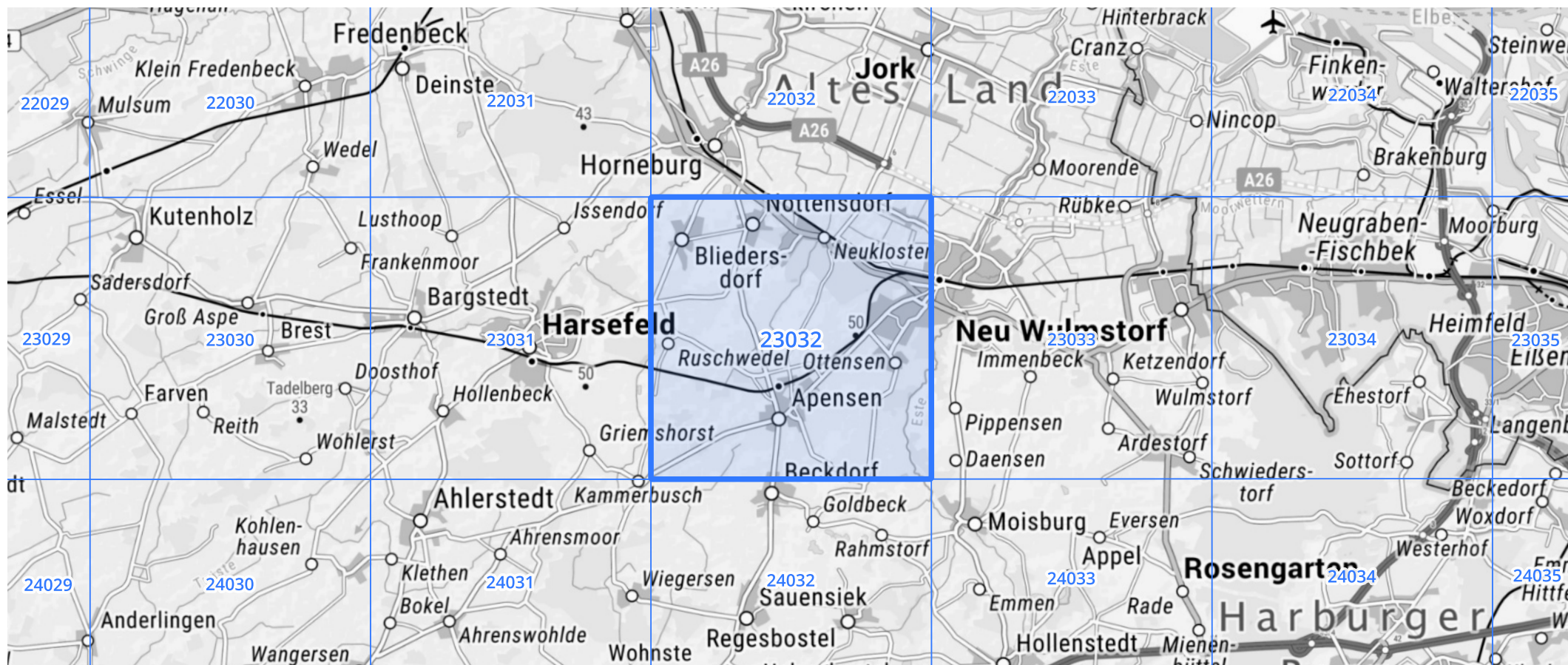
Auswertungszeitraum von 1951 - 2010, Januar - Dezember

Rasterfeld: 23032

Zeile: 23

Spalte: 32

Seite: 2/2



Quelle Rasterdaten: KOSTRA-DWD-2010R des Deutschen Wetterdienstes.

Kartendarstellung: © Bundesamt für Kartographie und Geodäsie (2022), Datenquellen: https://sgx.geodatenzentrum.de/web_public/gdz/datenquellen/Datenquellen_TopPlusOpen.html

Für die Richtigkeit und Aktualität der Angaben wird keine Gewähr übernommen. Erstellt 07/2022.